

# 高温 ASBR 处理热水解污泥的梯度升温法启动试验研究

欧阳二明<sup>1,2</sup>, 王伟<sup>1\*</sup>, 龙能<sup>3</sup>, 李怀<sup>4</sup>

(1. 清华大学环境科学与工程系, 北京 100084; 2. 南昌大学建筑工程学院, 南昌 330031; 3. 北京科技大学土木与环境工程学院, 北京 100083; 4. 长安大学环境科学与工程学院, 西安 710054)

**摘要:**采用序批式运行方式、梯度升温方法进行了高温 ASBR 处理热水解污泥的启动实验。结果表明, 梯度升温法能在 131 d 内较快地启动高温 ASBR 反应器。在 3 个梯度升温阶段中( $35^{\circ}\text{C} \rightarrow 40^{\circ}\text{C} \rightarrow 47^{\circ}\text{C} \rightarrow 53^{\circ}\text{C}$ ), 反应器的性能都出现了一定的波动, 其中在中温→中温( $35^{\circ}\text{C} \rightarrow 40^{\circ}\text{C}$ )、高温→高温( $47^{\circ}\text{C} \rightarrow 53^{\circ}\text{C}$ )阶段出现的波动比较小, 而在中温→高温( $40^{\circ}\text{C} \rightarrow 47^{\circ}\text{C}$ )阶段反应器的产气量、甲烷含量、出水 COD 和反应器内微生物量都出现了较大的变化, 反应器的性能波动较大,  $40^{\circ}\text{C}$  和  $47^{\circ}\text{C}$  分别为中温和高温的上限和下限。在反应器启动过程的稳态期, 反应器的平均产气量为 2.038 L/d, 甲烷含量为 72.0%, COD 产气率( $\text{CH}_4/\text{COD}_{\text{influent}}$ )为 188.8 mL/g, TCOD 和 SCOD 平均去除率分别为 63.8% 和 83.3%。扫描电镜和 DGGE 分析结果表明, 启动过程中反应器中的微生物形态和种类都发生了变化, 启动初期( $35^{\circ}\text{C}$ )和稳定期( $53^{\circ}\text{C}$ )的优势菌种明显不同。

**关键词:**热水解污泥; 厌氧序批式反应器; 梯度升温; 启动; PCR; DGGE

中图分类号: X705 文献标识码: A 文章编号: 0250-3301(2009)04-1105-05

## Gradient Elevation of Temperature Startup Experiment of Thermophilic ASBR Treating Thermal-Hydrolyzed Sewage Sludge

OUYANG Er-ming<sup>1,2</sup>, WANG Wei<sup>1</sup>, LONG Neng<sup>3</sup>, LI Huai<sup>4</sup>

(1. Department of Environmental Science and Engineering, Tsinghua University, Beijing 100084, China; 2. School of Civil Engineering and Architecture, Nanchang University, Nanchang 330031, China; 3. School of Civil and Environmental Engineering, University of Science and Technology Beijing, Beijing 100083, China; 4. Department of Environmental Science and Engineering, Chang'an University, Xi'an 710054, China)

**Abstract:** Startup experiment was conducted for thermophilic anaerobic sequencing batch reactor (ASBR) treating thermal-hydrolyzed sewage sludge using the strategy of the step-wise temperature increment:  $35^{\circ}\text{C} \rightarrow 40^{\circ}\text{C} \rightarrow 47^{\circ}\text{C} \rightarrow 53^{\circ}\text{C}$ . The results showed that the first step-increase (from  $35^{\circ}\text{C}$  to  $40^{\circ}\text{C}$ ) and final step-increase (from  $47^{\circ}\text{C}$  to  $53^{\circ}\text{C}$ ) had only a slight effect on the digestion process. The second step-increase (from  $40^{\circ}\text{C}$  to  $47^{\circ}\text{C}$ ) resulted in a severe disturbance: the biogas production, methane content,  $\text{COD}_{\text{effluent}}$  and microorganism all have strong disturbance. At the steady stage of thermophilic ASBR treating thermal-hydrolyzed sewage sludge, the average daily gas production, methane content, specific methane production ( $\text{CH}_4/\text{COD}_{\text{influent}}$ ), TCOD removal rate and SCOD removal rate were 2.038 L/d, 72.0%, 188.8 mL/g, 63.8%, 83.3% respectively. The results of SEM and DGGE indicated that the dominant species are obviously different at early stage and steady stage.

**Key words:** thermal-hydrolyzed sewage sludge; anaerobic sequencing batch reactor (ASBR); gradient elevation of temperature; startup; PCR; DGGE

厌氧序批式反应器(ASBR)能实现 HRT(水力停留时间)与 SRT(固体停留时间)、MCRT(微生物平均停留时间)的分离<sup>[1~3]</sup>, 从而能高效地处理含高悬浮固体的废水<sup>[4~6]</sup>。热水解(thermal hydrolysis)能改善污泥的固液分离性能和厌氧消化性能<sup>[7~9]</sup>, 是一种有效的预处理手段。污泥的“热水解-厌氧消化”联合工艺逐步得到重视和应用<sup>[10~12]</sup>。本试验采用高温 ASBR 处理热水解污泥, 主要研究梯度升温法启动过程中 ASBR 反应器处理热水解污泥的工艺特性, 并利用 PCR-DGGE 技术对反应器启动初期和稳定期的真细菌种类进行了初步分析研究。

## 1 材料与方法

### 1.1 试验装置

本试验使用的 ASBR 厌氧消化试验装置采用内径为 15 cm、高为 32.5 cm 的有机玻璃制成。ASBR 反应器总容积为 5 L, 其中有效处理容积为 4 L, 另外上部的 1 L 作为气室用于储存消化气。反应器外壁包

收稿日期: 2008-05-27; 修订日期: 2008-06-24

基金项目: 国家高技术研究发展计划(863)项目(2006AA06Z384)

作者简介: 欧阳二明(1976 ~ ), 男, 讲师, 博士研究生, 主要研究方向为污泥的处理与处置技术。

\* 通讯联系人, E-mail: solid@tsinghua.edu.cn

裹加热带,通过温度控制仪调控反应器内部温度.采用电动搅拌器进行搅拌,运用有机玻璃套管形成水封来保证搅拌杆与反应器连接处的密闭性.利用湿式流量计实时监测反应器的产气量.

## 1.2 试验污泥性质

实验所用污泥为北京市某污水处理厂的混合剩余污泥.原污泥经6号筛(筛孔:3.2 mm×3.2 mm)过滤后进行热水解预处理,热水解温度和时间为170℃、30 min.热水解污泥储存在冷柜中(3℃).向ASBR反应器进泥前先将热水解污泥加热到ASBR运行的相应处理温度.原污泥和热水解污泥的性质如表1所示.原污泥经热水解预处理后,其SCOD由601 mg/L提高到12 434 mg/L,热水解的预处理效果良好.

表1 原污泥和热水解污泥的性质

Table 1 Characteristics of raw and thermal-hydrolyzed sewage sludge

参数	原污泥	热水解污泥
pH	6.80	6.66
碱度(以CaCO <sub>3</sub> 计)/mg·L <sup>-1</sup>	800	1 021
TS/g·L <sup>-1</sup>	36.280	33.056
VS/g·L <sup>-1</sup>	23.506	20.646
SS/g·L <sup>-1</sup>	33.561	23.033
VSS/g·L <sup>-1</sup>	18.660	15.615
TCOD/g·L <sup>-1</sup>	40.317	38.857
SCOD/g·L <sup>-1</sup>	0.601	12.434
VFA/g·L <sup>-1</sup>	454	2 344

## 1.3 ASBR启动方法

接种污泥取自某污水处理厂的一级污泥消化池,其TS为24.748 g/L、VS为12.272 g/L、SS为23.668 g/L、VSS为11.220 g/L,VSS/SS为0.474.反应器接种3 L种泥,加入1 L热水解污泥后在HRT为20 d、容积负荷(TCOD)为1.943 kg/(m<sup>3</sup>·d)的条件下按序批式方式运行对种泥进行驯化.ASBR的一个序批式运转周期为24 h,其中包括进泥30 min,反应器20 h,沉降3 h,排泥30 min.控制ASBR的搅拌频率为10 min/h.采用梯度升温法使ASBR的反应温度由中温(35℃)逐步升到高温(53℃):35℃→40℃→47℃→53℃.即第1~15 d,ASBR反应器的温度为35℃;第16~29 d反应器的温度为40℃;第30~91 d反应器的温度为47℃;第92~131 d反应器的温度为53℃.

## 1.4 常规分析项目及方法

pH采用Orion 868型pH测定仪测定;碱度采用ZDJ-4A型自动电位滴定仪测定;总固体(TS)、挥发性固体(VS)、悬浮固体(SS)、挥发性悬浮固体(VSS)

采用称重法测定<sup>[13]</sup>;COD采用标准重铬酸钾法测定<sup>[13]</sup>.有机酸采用SQ-206型气相色谱仪(FID检测器)测定;沼气成分采用SQ-206型气相色谱仪(TCD检测器)测定;微生物量采用脂磷法测定.微生物形态采用FEI QUANTA 200扫描电子显微镜测定.

## 1.5 DNA提取、PCR扩增及DGGE电泳分离

采用美国MP Biomedicals公司的快速提取试剂盒(FastDNA<sup>®</sup> SPIN for Soil Kit)提取DNA,提取物作为PCR扩增模板.检测细菌16S rDNA的PCR引物为PRBA8F和PRUN518R,并在上游引物(PRUN518R)上加GC发卡.PCR扩增通过MJ-RESEARCH公司的PTC-200型PCR扩增仪实现.扩增程序为:94℃预变性7 min;94℃变性1 min;55℃退火30 s,72℃延伸1 min,24个循环;72℃延伸10 min.PCR产物的大小通过1%的琼脂糖凝胶电泳后,经过溴化乙锭染色后被观察.大约510 bp大小的片断被用来做DGGE分析.PCR样品直接被用于变性梯度为35%~60%的聚丙烯酰胺凝胶(浓度为8%)中进行电泳,所用仪器为D-Code系统(Bio-RAD公司).变性梯度胶在100 V、60℃条件电泳12 h左右.电泳完成后,用SYBR Gold染色,在紫外成像系统(UVP公司)中观察<sup>[14]</sup>.

## 2 结果与讨论

### 2.1 气体产量

本实验采用低负荷条件下按照序批式方式运行(ASBR方式),逐步提高反应器温度直到稳定运行,实现高温ASBR的启动.图1为厌氧反应器在131 d的启动期内每天的产气量.实验结果显示,所采用的接种污泥对这种处理对象(热水解污泥)具有良好的适应性,3 L接种泥加1 L热水解污泥进入反应器后,由于接种污泥活性比较好,基质数量比较高,反应器表现出良好的产气能力,第1 d的产气量高达3.337 L,第2 d仍有2.680 L的产气量,此后由于每天进料只有200 mL(即HRT=20 d),日产气量有所下降,但比较平稳.反应器在35℃温度下稳定运行15 d后,反应器温度提升到40℃,此时反应器的日产气量有一个突然的提升(由1.682 L/d提高到2.67 L/d),但接着就回落到1.600 L/d左右的水平,在随后的14 d(40℃)运行过程中,反应器的产气量一直比较稳定,平均产气量为1.621 L/d(40℃).反应器运行到第29 d后,运行温度由40℃提升到53℃,此时反应器内的产气量急剧下降,由第29 d的1.537 L/d下降到第30 d的0.740 L/d,并接着持续下降,直

到第 36 d 的最低产气量(0.030 L/d), 在这个升温阶段, 反应器内的微生物表现出极大的不适应性, 部分中温产气微生物死亡, 另外一部分微生物处于适应高温环境的抑制期。随后, 从第 37~47 d, 反应器的产气量逐渐回升(产气量由 0.12 L/d 上升到 1.92 L/d), 反应器很快完成了高温环境的驯化期。而且, 由于反应器内微生物活性增强, 反应器内累积的易降解基质被分解, 产气量进一步提高, 第 48~51 d 的产气量都在 2.5 L/d 以上。第 52~91 d, 反应器在 47℃ 环境下平稳运行, 反应器产气量保持在 1.380~1.960 L/d 之间。从第 92 d 起, 反应器温度由 47℃ 提升到 53℃, 反应器的产气量没有发生剧烈波动。其中第 111~131 d 期间, 反应器平稳运行产气量变化不大, 保持在 1.890~2.24 L/d 之间, 平均产气量为 2.038 L/d, COD 产气率( $\text{CH}_4/\text{COD}_{\text{投入}}$ )为 188.8 mL/g, 反应器处于稳态期。在整个梯度升温启动过程中, 第 1~15 d(35℃)、16~29 d(40℃)、30~91 d(47℃)、92~131 d(53℃) 的甲烷平均含量分别为 72.3%、72.6%、60.2%、72.0%, 说明反应器的性能在 40~47℃ 这个梯度升温阶段受影响程度最大, 而在其他梯度升温阶段过程受影响相对较小。

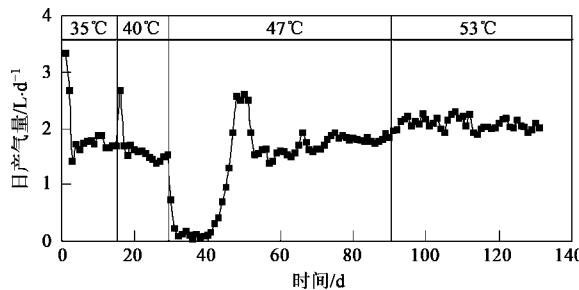


图 1 ASBR 的日产气量

Fig.1 Daily gas production of the ASBR

## 2.2 pH 值与碱度

pH 值是影响厌氧反应器处理过程的重要因素, 反应器出水 pH 值的波动也在一定程度上反映出反应器产甲烷活性的变化。反应器内碱度的大小反映了体系的缓冲能力, 即酸碱性条件下调节 pH 值的能力。本试验过程中没有人为调节碱度。图 2 给出了 ASBR 在整个启动过程中出泥的 pH 值动态变化情况。在 131 d 的启动过程中, 反应器出水的 pH 值一直保持在 6.97~7.94 之间, 其中反应器从 40℃ 升温到 47℃ 后, pH 值发生了较大的波动, 经历了先降后升的过程, 这主要是因为在这个梯度升温阶段, 反应器内的微生物处于由中温到高温的驯化过程, 对基质的分解能力经历了由低转高逐渐适应的过程, 而

基质的累积造成了 pH 值的下降。在启动期的最后一个周期内(111~131 d), 反应器出水的 pH 值稳定在 7.58~7.88 之间, 反应器出水碱度(以  $\text{CaCO}_3$  计)在 5 685~5 795 mg/L 之间(平均值为 5 739 mg/L), 表明反应器处于稳态运行期。

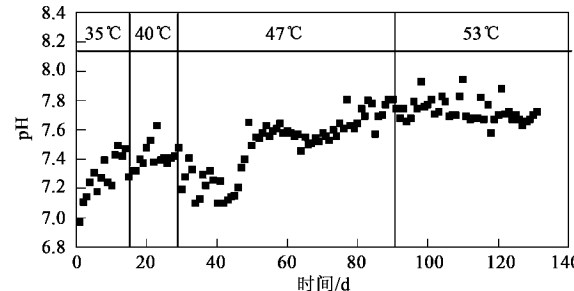


图 2 ASBR 反应器出泥的 pH

Fig.2 pH profiles in outflow

## 2.3 反应器出泥 COD

图 3 为梯度升温启动过程中 ASBR 反应器出泥的 TCOD 和 SCOD 随时间的变化情况。结果表明, 在整个启动过程中出泥的 TCOD 由最初的 5.609 g/L 逐步增加到后期的 14.282 g/L, SCOD 由最初的 0.607 g/L 缓步增加到后期的 2.146 g/L。其中在反应器温度处于 47℃ 的第 33 d, 反应器出泥的 TCOD 和 SCOD 分别为 9.211 g/L 和 1.403 g/L, 出现了反应器出泥的一个小高峰, 这主要是因为反应器由中温(40℃)向高温(47℃)的转变驯化期, 反应器的处理能力下降, 导致出泥的 COD 突然增加。在反应器的稳态期(第 111~131 d), 反应器出泥的 TCOD 和 SCOD 分别在 13.862~14.282 g/L 和 9.362~9.782 g/L 之间, 平均去除率分别为 63.8% 和 83.3%。

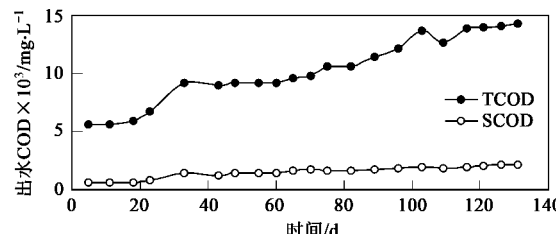


图 3 ASBR 反应器出泥的 SCOD 和 TCOD

Fig.3 SCOD and TCOD profiles in outflow

## 2.4 反应器内微生物量

温度的变化对厌氧反应器内的微生物数量具有重要的影响。本试验采用梯度升温法来实现高温 ASBR 的启动, 因此在整个启动过程中反应器内的微生物数量会产生一定的变化。由于处理的对象为高

悬浮固体物质含量较高的热水解污泥,不宜用 VSS 来表征微生物量,因此,本试验采用脂磷分析法来表征微生物量<sup>[15]</sup>。图 4 为整个启动过程中反应器内微生物的变化情况,在启动初期,反应器内的微生物量为 48.9 nmol/mL,在反应器运行温度由 35℃提升到 40℃后,微生物量下降到 32.1 nmol/mL(第 18 d),随后经过 5 d 的适应后恢复到 51.6 nmol/mL。由此可以看出在 35~40℃这个梯度升温阶段,反应器内的微生物量变化较小,恢复较快。随后反应器进入第 2 个梯度升温阶段(40~47℃),反应器内微生物量发生较大变化:在第 33 d 降到最低水平(23.3 nmol/mL),随后缓慢恢复,在第 48 d 恢复到 31.7 nmol/mL;接着进入快速增长期(第 48~89 d),并在第 89 d 达到 116.6 nmol/mL。在第 3 个梯度升温阶段(47~53℃),反应器内的微生物量受升温的影响非常小,只有极小幅度的增加,在第 125 d 达到 124.3 nmol/mL。

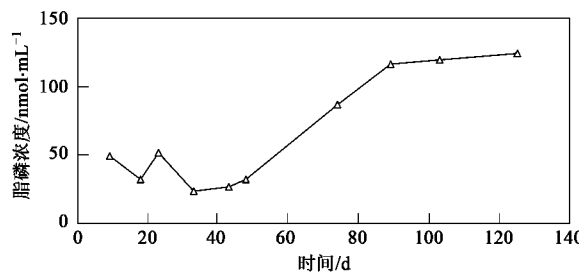
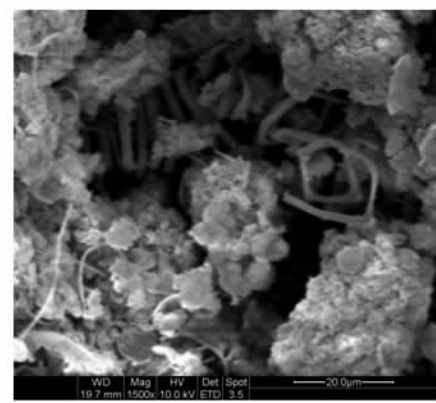


图 4 ASBR 反应器内的微生物量

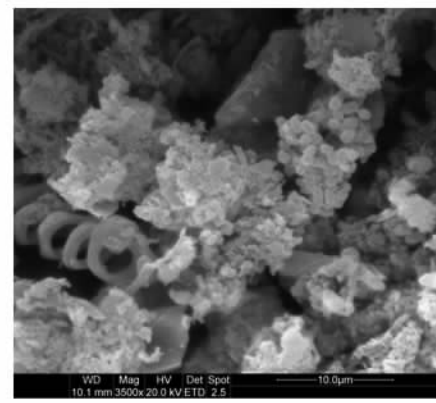
Fig. 4 Microorganism in ASBR

## 2.5 微生物形态及种类

通过扫描电镜(SEM)对 ASBR 反应器中启动初期(35℃)和稳定期(53℃)的微生物相进行了观察,结果如图 5 所示。结果显示,ASBR 的 SEM 有许多絮状和颗粒状的杂质,这是因为污泥样品中含有较高浓度的悬浮固体。除了杂质之外,可以看到在反应器的启动初期,分布在杂质表面或者镶嵌在杂质中间的微生物主要为杆菌、丝状菌,另外有少许的球菌;此后,反应器温度逐步由中温转成高温,反应器中的微生物经过这段时间的驯化、筛选,其优势菌种发生了变化,在启动期的稳定期,反应器中的微生物主要为球菌,另外有少量的杆菌、丝状菌和螺旋菌。为进一步分析启动过程中微生物的变化情况,在启动初期和稳定期时对反应器中细菌的 DNA 进行提取并纯化,通过 PCR 扩增和 DGGE 电泳分离,结果如图 6 所示。样品 1 取自 ASBR 反应器的启动初期,样品 2 取自反应器的稳定期。比较 2 个样品得到条带的数量和位置,发现 2 个样品都有 6 条带可被分辨出来,



(a) 启动初期(35℃)



(b) 稳定期(53℃)

图 5 ASBR 中微生物的扫描电镜照片

Fig. 5 SEM photo of the microorganisms in the ASBR

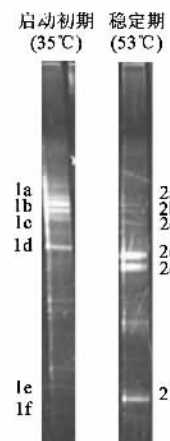


图 6 启动初期与稳定期反应器中的真细菌种群结构的比较

Fig. 6 Eubacteria community structures in the ASBR at early stage and steady stage of startup

其中 1a、1b、1c、1e 分别和 2a、2b、2c、2f 处于电泳图的同一位置,说明这 4 种细菌的种类相同;而其他条带的位置并不相同,说明在逐步升温的驯化过程中,有些中温细菌已经被淘汰,另有一些细菌经驯化生长,能被分辨出来,成为主要菌种。此外,样品 1 中

的 1b、1c、1d 条带明显亮于其他条带,样品 2 中的 2d、2e、2f 条带明显亮于其他条带,说明在反应器的启动初期和稳定期都有 3 种优势菌,但优势菌的种类并不相同。实验结果表明在梯度升温启动过程中,ASBR 处理热水解污泥的微生物形态、种类及优势菌种都发生了变化,中温和高温阶段的优势菌种明显不同。

### 3 结论

(1)采用序批式运行方式,梯度升温法能在 131 d 内较快地启动高温 ASBR 反应器。在稳态期,高温 ASBR 处理热水解污泥的 TCOD 和 SCOD 平均去除率分别为 63.8% 和 83.3%。

(2)在 3 个梯度升温阶段中( $35^{\circ}\text{C} \rightarrow 40^{\circ}\text{C} \rightarrow 47^{\circ}\text{C} \rightarrow 53^{\circ}\text{C}$ ),反应器的性能都出现了一定的波动,其中在中温 $\rightarrow$ 中温( $35^{\circ}\text{C} \rightarrow 40^{\circ}\text{C}$ )、高温 $\rightarrow$ 高温( $47^{\circ}\text{C} \rightarrow 53^{\circ}\text{C}$ )阶段出现的波动比较小,而在中温 $\rightarrow$ 高温( $40^{\circ}\text{C} \rightarrow 47^{\circ}\text{C}$ )阶段反应器的产气量、甲烷含量、出水 COD 和反应器内微生物量都出现了较大的变化,反应器的性能波动较大, $40^{\circ}\text{C}$  和  $47^{\circ}\text{C}$  分别为中温和高温的上限和下限。

(3) 在反应器启动的稳态期,反应器的平均产气量为 2.038 L/d,甲烷含量为 72.0%,COD 产气率( $\text{CH}_4/\text{COD}_{\text{投入}}$ )为 188.8 mL/g。

(4)扫描电镜和 DGGE 分析的结果表明,启动过程中反应器中的微生物形态和种类都发生了变化,启动初期( $35^{\circ}\text{C}$ )和稳定期( $53^{\circ}\text{C}$ )的优势菌种明显不同。

### 参考文献:

- [1] Dague R R. Initial studies on the anaerobic sequencing batch reactor [J]. Water Science and Technology, 1992, **26**(9): 2429-2432.
- [2] Ioannis S, David M B. Improving anaerobic sequencing batch reactor performance by modifying operational parameters [J]. Water Research, 2002, **36**(1): 363-367.
- [3] Angenent L T, Sung S, Raskin L. Methanogenic population dynamics during startup of a full-scale anaerobic sequencing batch reactor treating swine waste [J]. Water Research, 2002, **36**(18): 4648-4654.
- [4] Ruiz C J, Torrijos M. Treatment of winery wastewater by an anaerobic sequencing batch reactor [J]. Water Science and Technology, 2002, **45**(10): 219-224.
- [5] Hur J M, Chang D, Chung T H. Dynamic process response to sludge thickening behaviors in the anaerobic sequencing batch reactor treating high-solids-content waste [J]. Journal of Bioscience and Bioengineering, 1999, **87**(4): 525-530.
- [6] Duk C, Joon M H, Tai H C. Digestion of municipal sludge by anaerobic sequencing batch reactor [J]. Water Science and Technology, 1994, **30**(12): 161-170.
- [7] 王治军,王伟.剩余污泥的热水解试验[J].中国环境科学,2005,25(1):68-71.
- [8] 王治军,王伟.热水解预处理改善污泥的厌氧消化性能[J].环境科学,2005,26(1):68-71.
- [9] Li Y Y, Noikeal T. Upgrading of anaerobic digestion of waste activated sludge by thermal pretreatment [J]. Water Science and Technology, 1992, **26**(3-4): 857-866.
- [10] Bougrier C, Delgenès J P, Carrère H. Combination of thermal treatments and anaerobic digestion to reduce sewage sludge quantity and improve biogas yield [J]. Process Safety and Environmental Protection, 2006, **84**(B4): 280-284.
- [11] 王治军,王伟,高殿森,等.高温和中温 ASBR 处理热水解污泥的对比[J].环境科学,2005,26(2):88-92.
- [12] 王治军,王伟,张锡辉.ASBR 处理高浓度悬浮固体废物的工艺特性[J].环境科学,2006,27(6):1107-1110.
- [13] 国际环境保护总局.水和废水监测分析方法[M].(第四版).北京:中国环境科学出版社,2002.
- [14] Liu W T, Chan O C, Fang H H P. Microbial community dynamics during start-up of acidogenic anaerobic reactor [J]. Water Research, 2002, **36**: 3203-3210.
- [15] Armaiz C, Gutierrez J C, Lebrato J. Biomass stabilization in the anaerobic digestion of wastewater sludges [J]. Bioresource Technology, 2006, **97**(10): 1179-1184.